точек и область больших долговечностей и уменьшением наклона 11 участка кривой коррозионной усталости методика [3] дает необоснованно заниженные результаты:  $a_1 = 1.05 - 1.25$  и  $a_N = 1.25 - 3.5$ . причем высокие значения  $a_2$  и  $a_N$  соответствуют значению P(N) = 0.999, представляющему потерес для расчетов.

Проведенное исследование позволяет уточинть пределы использования той или иной модели коррознонного разрушения и вводом новой модифицированной модели добиться уточиения срока службы машит и снижения их материалоемкости на сталии проектирования,

## ЛИТЕРАТУРА

- 1. Род В. В. Исследование коррозни металлов под напряжением во потере длительной прочности; Мчеби, пос.—М.: Изд-во МОПИ, 1981. 61 с.
- Карпенко Г В. Физико-химическая механика конструкционных материилов: Набр. тр. К.: Паукова думка, 1985, Т. 1.—228 с.
- Олейник Н. В., Масденко А. Н., Скляр С. И. Сопротивление усталости материалов и деталей машин в коррозновных средах. К.: Паукова думка, 1987— 200 с.
- 4 А. с. 1317329 СССР, АІ G OI А 17/00. Метройство для испытация на усталость в коррозионых средах/Н. В. Олейник, М. Г. Стакян, А. В. Вольчев, Г. А. Манукян (СССР).—№ 3848578/25—28; Заявл. 01.02.85, Опубл. 15.06-87, Бюл. № 22.—3 с.
- Стикви М. Г. Осинески Л. Г. Комилексное предедование сопротивления результатов механических инпытаний пормальному закону распределения//Пав. пузов. Машиностроение. —1988. —№ 9.—С. 8—13.
- 6. Эвана Ю. Р. Коррозия и охисление металлоп,-М.: Маштиз, 1962-856 с.
- 7. Стакле М. Г., Манукли Г. А. Вероктностная оценка сопротивления усталости дегалей, работающих и коррозновных средах//Теория и конструирование машин.: Междул тем сб. науч тр. по маш.—Ереван: Изд-но ЕрИИ, 1986.— С. 21—25

ЕрПП им. К. Маркса

10, 1, 1989

Has AH ApMCCP (cep. 111) r, XLII No. 5, 1989, c. 218-223,

**МАШИНОСТРОЕНИЕ** 

УДК 621,762

г. л. петросян, г. к. Аскиджян, т. в. муслелян

## МЕТОДИКА УЧЕТА УПРОЧНЕНИЯ ПРИ ИССЛЕДОВАНИИ ПРОЦЕССОВ ПРОКАТКИ ПОРИСТЫХ ЗАГОТОВОК

С номощью метода тонких селений и теории иластичности реальных нористых матери лов получена система уравнении, которая позволяет определить компоненты напряже лю-деформированного состояния прокатываемой сисчениой заготовки. Предлагаемое решение позволяет сформулировать методику учета упрочиения на основании учения и использования диаграммы деформирования спеченного материала.

Приведены пислонные двиные решения задачи для различных значений пористостей интернала и коэффициентов трения между в лками и прокатываемым материлом. Результаты сопоставлены как между собой так и с данными изпестного в лигературе решения задачи прокатки беспористого материала.

Ил. 2. Библиогр.: 6 назв.

Աշխատահրում բարակ կտրվածջների մեթոդի և բրական ձակսակեն նյութերի պլաստիկության տեսության հիման վրա ստացվել է հավասարուժների համակարգ, որը հնարավորություն է տայիս որոշելու գլանվող ծակոակեն նախապատրաստվածքի լարվածային դեֆորմացիոն վիճակը։ Առաջարկվող լումումը հնարավորություն է տալիս հյութի դեֆորմացման կորի ստացման և կիրառման հիման վրա ձևակերպել ամրացումը հայվի առևող ժեթողիկան։

Նյութի տարրեր ծակոտկենության և դյանիկների ու գյանվող նյութի - բիման գործակիցների Համար բերված են Բվային արժերներ Արդյունբները հաժեմատված են ինչպես իրար հետ, այնպես էլ դրականության մեջ Հոժ Իլութի համար ստացված տվյայների հետ։

При прокатке порошковых материалов на силовые и кинематические параметры процесса существенное влияние оказывает величина пористости материала. Поэтому для решения задачи прокатки спеченных заготовок нажным янляется разработка математической модели, поэволяющей учитывать влияние пористости материала. Решению указанной задачи посвящены работы [1, 2]. Однако вопросы учета упрочнения и реальной пористости материала при прокатке спеченных материалов изучены педостаточно полно.

Цельно настоящей работы является разработка методики учета упрочнения материала при исследовании напряженно-деформировачного состояния пористой плоской заготовки при прокатке, используя теорию плистичности реальных пористых материалов [3], основные зааисимости которой имеют следующий вид:

$$\sigma_{\text{EMR}} = \frac{1}{\sigma_{H} + 0.5} \left( -5 S_{II} + 9 \alpha^{e_1} \sigma_0^{e_2} \right)^{-1},$$
 (1)

$$d\varepsilon_{\text{exp}} = \beta^{2n-0.5} \left( \frac{2}{3} de_{ti} de_{t} + \frac{\omega_{-0}}{2^{m}} \right) ; \qquad (2)$$

$$\frac{34}{2\tau_{mn}\rho} = -(1-2a^{m})\,\delta_{ij}\,\sigma_{0}); \tag{3}$$

$$dv = \frac{9\pi^{n} (1-v) z_{n} dz_{nn}}{3^{n} z_{nn}}.$$
 (4)

где s... ds. — эквивален ное напряжение и приращение пластической теформации;  $S_{ij}$  , s и ...,  $ds_{ij}$  — компоненты дениаторов и тензорон напряжений и приращений пластических деформаций;  $s_{ij}$  — as среднее напряжение:  $ds_{ij} = \delta$ .  $ds_{ij}/3$  — приращение средней деформации;  $\delta_{ij}$  символ Кронекера; m и n — нараметры пористости;  $s_{ij}$  функции пористости v [4]:

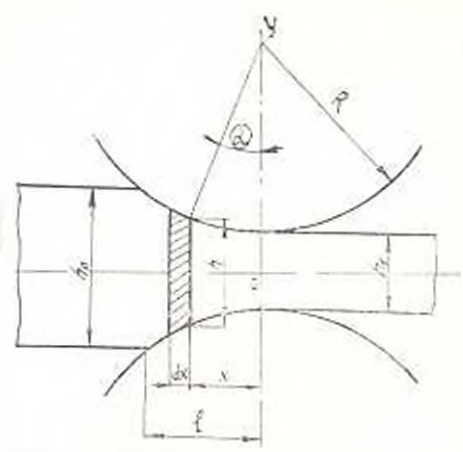
$$3 = \frac{1}{2(1-v)}, \qquad 3 = (1-v). \tag{5}$$

Для решения поставленной задачи используем метод тонких сечений (рис. 1) [5], согласно которому для главных напряжений от, ог, от, прирашений соответствующих деформаций имеем:

$$\begin{array}{ll}
\sigma_1 & \sigma_2; & \sigma_2 = \varepsilon_1; & \sigma_3 = -p; \\
d\varepsilon_1 = d\varepsilon_2; & d\varepsilon_2 = d\varepsilon_2; & d\varepsilon_2 = d\varepsilon_2,
\end{array}$$
(6)

где р-нормальное давление металла на валки.

Заменяя дугу окружности валка параболой и считая, что угол а



Рис, 1. Слема очага деформании при прокате.

мал, уравнение равновесия элемента приводим к следующему виду:

а) для зоны отставания —

$$\frac{ds_x}{dx} = \frac{2x(s_x + p) - upR}{Rh_x^2}, (13)$$

б) для зоны опережения -

$$\frac{do_1}{dx} = \frac{2x(\delta_x + p) + \frac{1}{2}pR}{Rh_1 + x^2}, (76)$$

где R — раднуе валка;  $h_1$  — высота заготовки после прокатки; h — текущая высота заготовки и очаге теформации;  $\mu$  — коэффициент трения.

При плоском деформированном состоянии de = 0, а приращение теформации по направлению оси ОУ определяется уравнением

$$dz = \frac{dh}{h} = -2 \frac{x}{Rh_0 + x^2} - dx. \tag{8}$$

Используя зависимости (3), (4) и условие (8), получаем

$$\frac{dx}{dx} = \frac{4x}{|Rh|} \frac{3(1-2x^n)}{2(1+x^n)} (x_n - p)$$
 (9)

$$\frac{u^{-1}}{dz} = \frac{12x(1-v)(z_x-p)}{(Rh_1-x^2)[p(1+4z^m)+c_x(1-2z^m)]}.$$
 (10)

Из выражения (1) устанлаливаем

$$\rho = -\frac{1 - \frac{m}{1 + 5x^m + 4x^{2m}}}{1 + 5x^m + 4x^{2m}} s_x + \left[ \left( \left( \frac{1 - x^m - 2a^{2m}}{1 + 5x^m + 4a^{2m}} \right)^2 - 1 \right) s_x^2 + \frac{8x^{2m+1}}{6(1 + 5x^m + 4x^{2m})} \right]^{1/2}$$
 (11)

Таким образом, дифференциальные уравнения (9), (10), (7а) или (76) с уравнениями (5) и (11) составляют систему уравнений для определения компонентов напряженно-деформированного состояния заготовки соответственно в зонах отставания и опережения.

При решении этих уравнений необходимо использовать также днаграмму деформирования материала

$$z_{363} = \Phi\left(\int d\varepsilon_{388}\right).$$
 (12)

Система соответствующих уравнений для зои опережения и отставания решается численным методом. Задаются начальные условия при  $\mathbf{x} = l$  (рис. 1):

$$z_x = z_{x_0}$$
,  $v = v_0$ ,  $z_0 = 0$ .

Затем для первого приближения фиксируется место нейтрального сечения  $x_c = x_{c1}$  ( $0 \le x_c - t$ ) и соответствующим численным методом решается система дифференциальных уравнений (7а), (9), (10) с уравнениями (5), (11) и (12). После чего найденные результаты для сечения  $x_c = x_c$  принимаются как начальные условия для зоны опережения и анологичным образом решается система дифференциальных уравнений (76), (9), (10) с уравнениями (5), (11) и (12) для зоны опережения. Цикл продолжается до тех пор, пока не будет нандено такое значение  $x_c = x_{cN}$ , для которого ныполняется условие  $x_c = x_{cN}$  при  $x_c = 0$ . Если передиие и задние натяжения отсутствуют, то  $x_{c1} = x_{c2} = 0$ .

В тех случаях, когда диаграмма деформирования материала не представлена и виде выражения (12), возникают трудности точного учета упрочнения материала и задача решается приближенно. Приведем одну методику учета реального упрочнения материала, позволяющую сопоставить результаты различных решений между собой.

Аля этого сначали была решена задача прокатки компактного материала при m=0 (2 0, 3 = 1). Было принято также [6], что R=250 мм,  $h_1=1,3$  мм,  $h_2=1,9$  мм,  $\mu=0,08$ , I=12,25 мм.

Полобно [6] рассматривается прокатка заготовки из малоуглероанстой стали 08 Кп, днаграмма теформирования которой в [6] была аппроксимирована следующей зависимостью:

$$z_{sa} = z_{s1} - \frac{z_{s1} - z_{ss}}{t^2} \quad (13)$$

где  $a_{10} = 475 \ MHa$  — напряжение текучести материала и пачале прокатки данного прохода и  $a_{21} = 590 \ MHa$  — после прокатки — определялись в [6] опытным нутем.

Как известно, упрочиение материала непосредственно связано с деформациями материала, хотя уравнение (13) это наглядно не показывает. Но, имея ввиду то обстоятельство, что леформация связана зана с текущей координатой x некоторой функцией, зависящей от вида контактной линии материала и валка, с помощью уравнения (13) устанавливается связь между  $\epsilon_{_{1N}}$  и  $\epsilon_{_{2N}}$ . Такая зависимость использовалась в [2, 3] для учета упрочнения пористого материала. Однако, эти решения не учитывают влияния на упрочнение деформацяя  $\epsilon_{_{2N}}$  ( $\epsilon_{_{2N}}$  = 0). Следовательно, такой подход не является универсальным и эля учета влияния пористости на упрочнение материала необходимо каждый раз в зависимости от начальной пористости материала иметь новые опытные данные.

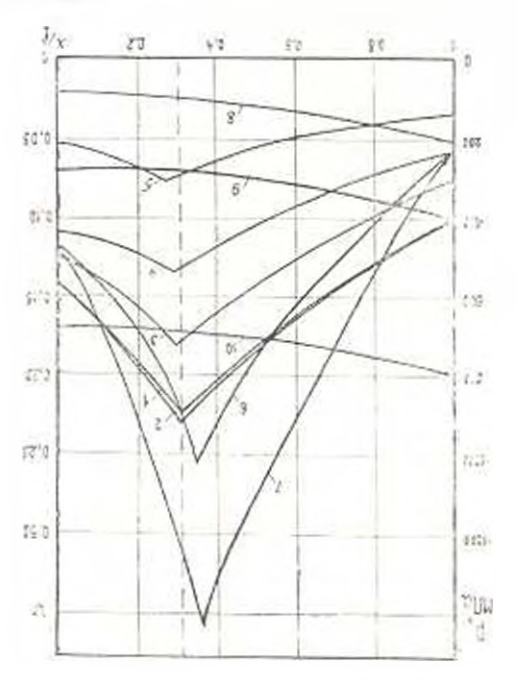


Рис. 2 Кривые распредстения пористости материала и пормальных давлений при прокатке.

Так как представленное решение исхолит из единой кривой деформирования материала (12), го целесообразным является уравнение (13) представить в виде (12). Это возможно, если использовать решение задачи компактного материала на основании уравнения (13). При этом, из зависимостей (7а), (76), (9) и (11) совместно с компонентами напряженно-деформированного состояния заготовки опредсляется и распределение величины ( по оси ж. По полученным значениям выпрокси-

мирована диаграмма деформирования материала в следующем виде:

$$z_{\text{DKB}} = z_{\text{PB}} + b \int d\overline{z}_{\text{DKB}} + c \left( \int d\overline{z}_{\text{DKB}} \right)^2$$
 (14)

де  $s_0 = 475 \ MHa$ :  $b = 31 \ MHa$ ,  $v = -10 \ MHa$ .

11a рис. 2 криными 1, 3, 4, 5 показаны распределения пормального давления по длине прокатки материалов с начальными пористостями—0, 0.05, 0,1, 0.2 (криная 2 соответствует танным [6]).

Как видно из рис. 2, при увеличении пористости положение нейтрального сечения незначительно перемещается в направления выхода металла из валков. Задача решалась также для значения коэффициента трения  $\mathbf{u}=0.15$  (кривая 6) и  $\mathbf{u}=0.2$  (кривая 7) при  $\mathbf{v}=0.1$ . При увеличении величины и увеличивается максимальное пормальное давление и положение нейтрального сечения приближается к сечению входа металла в валки. Полученное решение позволяет также определять распределение пористости в зоне деформирования и установить пористость заготовки прокатки (кривые 8, 9, 10)

Таким образом, анализом напряженно-деформированного состояния спеченной заготовки при прокатке показано, что предложенная методика учета упрочнения материала описывает реальную картину леформирования материала. Ее можно использовать и в тех случаях, когда диаграмму деформирования материала обычным методом исвозможно построить.

## JIHTEPATYPA

- Мисихин А. М. Напряжение в очате деформации при холодной прокатке пористых материалов//Порошковая металлургия.—1977.—№ 3.—С. 20—25.
- Радченко К. М. Контактные напряжения при уплотняющей прокатке//Порошковая металлургия.—1972 — № 9. С. 8—13.
- Петросян Г. Л. Пластическое деформирование порошковых материалов М. Металлургия, 1988.—152 с.
- 4. Тучинский Л. Н., Скороход В. В. Условие пластичности пористых тел//Порошковая металлургия.—1978.—№ 11.—С. 10—13.
- 5. Целиков А. И., Никитин Г. С., Рокотян С. Е. Геория продольной проказки М.: Металлургия, 1980.—319 с.
- 6. Третьяков А. В. Теория, расчет и исследование станов колодной прокатки,—М. Металлургия, 1966.—255 с.

ЕрііН им. Қ. Маркса

22, X11, 1988

